



NetWorks Sp. z o.o.  
Laboratorium Badań Środowiskowych  
ul. Józefa Piusa Dziekońskiego 3  
00-728 Warszawa  
e-mail: [Laboratorium@networks.pl](mailto:Laboratorium@networks.pl)



AB 419

S P R A W O Z D A N I E 4118/2026/OS  
Z POMIARÓW PÓL ELEKTROMAGNETYCZNYCH  
WYKONANYCH DLA POTRZEB OCHRONY ŚRODOWISKA

Badany obiekt: Instalacja radiokomunikacyjna T-Mobile Polska S.A.  
Numer i nazwa: 39214 (44214N!) GOL\_OSTRODA\_DEMOKRACJI6  
Adres: OSTRÓDA, DEMOKRACJI DZ.130/6, Powiat ostródzki, WOJ. WARMIŃSKO-MAZURSKIE

Data wykonania pomiarów: 2026-05-27

Sprawozdanie z badań bez pisemnej zgody laboratorium nie może być powielane inaczej niż w całości.  
Wyniki przedstawione w niniejszym sprawozdaniu odnoszą się wyłącznie do badanego obiektu i do warunków i konfiguracji urządzeń w dniu wykonywania pomiarów.

**1. Właściciel badanego obiektu:**

T-Mobile Polska S.A., ul. Marynarska 12, 02-674 Warszawa

**2. Zleceniodawca:**

T-Mobile Polska S.A., ul. Marynarska 12, 02-674 Warszawa

**3. Przedstawiciel zleceniodawcy:**

NetWorks Sp. z o.o.

**4. Zakres zlecenia:**

Wykonanie badania i opracowanie sprawozdania z pomiarów natężenia pola elektrycznego i pola magnetycznego dla instalacji radiokomunikacyjnej T-Mobile Polska S.A. zlokalizowanej w miejscowości OSTRÓDA, DEMOKRACJI DZ.130/6.

**5. Cel zlecenia:**

Wykonanie pomiarów pól elektromagnetycznych w otoczeniu instalacji radiokomunikacyjnej 39214 (44214N!) GOL\_OSTRODA\_DEMOKRACJI6 w odniesieniu do wymagań określonych w *Rozporządzeniu Ministra Klimatu z dnia 17 lutego 2020 r. w sprawie sposobów sprawdzania dotrzymania dopuszczalnych poziomów pól elektromagnetycznych w środowisku (Dz.U. 2022 poz. 2630)*.

**6. Pomiary zostały wykonane przez:**

Przybyszewski Patryk

Helwak Jakub

**7. Informacje o źródłach pól elektromagnetycznych****7.1. Sposób identyfikacji badanych źródeł pól elektromagnetycznych**

Identyfikacji źródeł i parametrów technicznych dokonano na podstawie analizy dokumentacji dotyczącej zlecenia oraz obserwacji miejsca wykonywania badań.

**7.2. Opis miejsca zainstalowania anten i urządzeń technicznych. Opis obiektu badań i jego otoczenia**

Instalacja radiokomunikacyjna zlokalizowana jest na terenie nieogrodzonym. Anteny zawieszono na kominie. Urządzenia sterujące oraz zasilające zainstalowano w szafie outdoor u podstawy wieży. Wokół instalacji znajdują się tereny przemysłowe.

Instalacja radiokomunikacyjna jest obiektem bezobsługowym. Okresowe stanowiska pracy związane są z prowadzonymi w zależności od potrzeb konserwacjami, przeglądami, strojeniem i naprawami.

### 7.3. Parametry techniczne źródła pola elektromagnetycznego

Dane przedstawiające maksymalne parametry pracy instalacji przekazane przez zleceniodawcę:

Parametry systemu nadawczo-odbiorczego:

Charakterystyka promieniowania		Kierunkowa					
Rzeczywisty czas pracy [h/dobę]		24					
Warunki pracy		Znamionowe					
Rodzaj wytwarzanego pola		Stacjonarne					
Lp.	Częstotliwość lub zakresy częstotliwości pracy [MHz]	Typ/producent anteny	liczba anten	Azymut [°]	kąt pochylenia [°]	Wysokość środka elektrycznego anteny [m n.p.t.]	Równoważna moc promieniowana izotropowo (EIRP) [W]
1	900/1800/2100	ASI4518R39v07 Huawei	1	10	2-12**/2-12**/ 2-12**	46.3	18203
2	900/1800/2100	ASI4518R39v07 Huawei	1	130	2-12**/2-12**/ 2-12**	46.3	18203
3	900/1800/2100	ASI4518R39v07 Huawei	1	270	2-12**/2-12**/ 2-12**	46.3	18203

\* wskazane wartości kąta pochylenia anten, zgodnie z informacją uzyskaną od zleceniodawcy, są wartościami stałymi

\*\* pomiary wykonano zgodnie z pkt 13., ppkt 2 załącznika do Rozporządzenia Ministra Klimatu z dnia 17 lutego 2020 r. (Dz. U. 2022, poz. 2630).

Transmisja realizowana drogą kablową

### 7.4 Inne źródła pól elektromagnetycznych

Na podstawie informacji otrzymanych od użytkownika oraz obserwacji otoczenia miejsca wykonywania pomiarów stwierdzono występowanie innych źródeł pola-EM, pracujących w systemach: telefonii komórkowej (800MHz-3800MHz), linii radiowych (5GHz-90GHz), które istotnie wpływają na wyniki pomiarów.

## 8. Opis pomiarów

### 8.1. Metoda badań

Zgodna z rozporządzeniem Ministra Klimatu z dnia 17 lutego 2020 r. w sprawie sposobów sprawdzania dotrzymania dopuszczalnych poziomów pól elektromagnetycznych w środowisku (Dz.U. 2022 poz. 2630), określona w pkt 25 ppkt 1 załącznika do niniejszego rozporządzenia.

### 8.2. Termin pomiarów i warunki środowiskowe

Podczas wykonywania pomiarów pól elektromagnetycznych nie występowały opady atmosferyczne. Wyniki pomiaru parametrów pogodowych przedstawia poniższa tabela:

Data [rrrr-mm-dd]	Godzina [hh:mm-hh:mm]	Warunki środowiskowe			
		Temperatura [°C]		Wilgotność względna [%]	
2026-05-27	12:45-13:55	Przed pomiarem	Po pomiarach	Przed pomiarem	Po pomiarach
		20.0	20.3	41.0	39.0

Przedstawione wyżej warunki środowiskowe, występujące podczas wykonywania pomiarów pól elektromagnetycznych, są zgodne ze specyfikacją techniczną użytego zestawu pomiarowego.

### 8.3. Warunki pracy urządzeń nadawczych

Podczas pomiarów w przypadku uzyskania wyniku pomiaru szerokopasmowego wykonanego zastosowaną metodą, dla zakresów częstotliwości od 10 MHz do 300 GHz, powiększonego o rozszerzoną niepewność pomiaru  $U$  dla współczynnika rozszerzenia  $k = 2$  przekraczającego 70% najniższej dopuszczalnej wartości składowej elektrycznej lub magnetycznej pola dla objętych pomiarami zakresów częstotliwości, uwzględnia się poprawki pomiarowe przekazane przez zleceniodawcę, umożliwiające uwzględnienie maksymalnych parametrów pracy instalacji zgodnie z pkt 7 załącznika do Rozporządzeniem Ministra Klimatu z dnia 17 lutego 2020 r. w sprawie sposobów sprawdzania dotrzymania dopuszczalnych poziomów pól elektromagnetycznych w środowisku (Dz. U. 2022, poz. 2630) zaznaczając, że wymagane jest wykonanie pomiaru z wykorzystaniem miernika selektywnego. W przypadku uzyskania wyniku pomiaru szerokopasmowego wykonanego zastosowaną metodą, dla zakresów częstotliwości od 10 MHz do 300 GHz, powiększonego o rozszerzoną niepewność pomiaru  $U$  dla współczynnika rozszerzenia  $k = 2$  nieprzekraczającego 70% najniższej dopuszczalnej wartości składowej elektrycznej lub magnetycznej pola dla objętych pomiarami zakresów częstotliwości, nie uwzględnia się poprawek pomiarowych.

Sprawozdanie z badań bez pisemnej zgody laboratorium nie może być powielane inaczej niż w całości.

Wyniki przedstawione w niniejszym sprawozdaniu odnoszą się wyłącznie do badanego obiektu i do warunków i konfiguracji urządzeń w dniu wykonywania pomiarów.

#### 8.4. Wyposażenie pomiarowe

Zestaw pomiarowy służący do pomiaru natężenia składowej elektrycznej pola elektromagnetycznego złożony z szerokopasmowego miernika i sondy pomiarowej:

Oznaczenie miernika	Producent	Model	Numer fabryczny	Oznaczenie sondy	Producent	Model	Numer fabryczny
MW-08	Wavecontrol	Miernik pól elektromagnetycznych SMP2	22SN2090	SW-15	Wavecontrol	Sonda WPF60	22WP230221

Mierniki natężenia pola elektromagnetycznego podlegają okresowemu sprawdzeniu zgodnie z procedurą wewnętrzną P-03 i PB-01. Świadectwo wzorcowania zestawu pomiarowego z dnia 8 listopada 2024 o numerze LWiMP/W/395/24 wydane przez Politechnika Wrocławską. Data następnego wzorcowania: 8 listopada 2026 (zgodnie z procedurą wewnętrzną P-03).

Oznaczenie miernika	Producent	Model	Numer fabryczny	Oznaczenie sondy	Producent	Model	Numer fabryczny
MW-08	Wavecontrol	Miernik pól elektromagnetycznych SMP2	22SN2090	SW-16	Wavecontrol	Sonda WPF3-HP	22WP030450

Mierniki natężenia pola elektromagnetycznego podlegają okresowemu sprawdzeniu zgodnie z procedurą wewnętrzną P-03 i PB-01. Świadectwo wzorcowania zestawu pomiarowego z dnia 8 listopada 2024 o numerze LWiMP/W/395/24 wydane przez Politechnika Wrocławską. Data następnego wzorcowania: 8 listopada 2026 (zgodnie z procedurą wewnętrzną P-03).

#### Termohigrometr:

Oznaczenie:	TH-24	Producent:	AZ INSTRUMENT CORP	Model:	Termohigrometr AZ8706
-------------	-------	------------	--------------------	--------	-----------------------

Data następnego wzorcowania: 3 sierpnia 2027 (zgodnie z procedurą wewnętrzną P-03).

#### Dalmierz:

Oznaczenie	Producent	Typ	Numer seryjny	Nr świadectwa wzorcowania	Data świadectwa wzorcowania
D-09	Leica	Dalmierz Leica Disto D510	1042956700	Z3- Z32.4180.182.2024.4196.3	8 stycznia 2025

Data następnego wzorcowania: 8 stycznia 2035 (zgodnie z procedurą wewnętrzną P-03).

#### Odbiornik GNSS:

Odbiornik GNSS wbudowany w miernik natężenia pola elektromagnetycznego użyty podczas pomiarów	Producent	Model
	UBlox	MAX-M8Q

Odbiorniki podlegają okresowemu sprawdzeniu zgodnie z procedurą wewnętrzną P-03.

#### 9. Wyniki pomiarów

W obszarze pomiarowym, w którym na podstawie uprzednio przeprowadzonych obliczeń (OOP\* 1460/2026/RP), stwierdzono występowanie w danych zakresach częstotliwości pól elektromagnetycznych o poziomach zbliżonych do poziomów dopuszczalnych, określonych w przepisach wydanych na podstawie art. 122 ust. 1 ustawy z dnia 27 kwietnia 2001 r. – Prawo ochrony środowiska nie stwierdzono występowania zabudowy mieszkalnej.

\*OOP - Obligatoryjny Obszar Pomiarowy - opracowanie przedstawia przewidywane rozkłady pól elektromagnetycznych w otoczeniu instalacji radiokomunikacyjnej.

## Pole elektryczne

Nr pionu	Opis umiejscowienia pionu (punktu pomiarowego)	Wysokość pomiaru [m]	Zmierzona wartość natężenia pola elektrycznego E [V/m] <sup>1,5</sup>			Wartość natężenia pola elektrycznego powiększona o niepewność pomiaru <sup>4</sup> E [V/m]	Wskaźnikowa wartość poziomu emisji pól elektromagnetycznych WME <sup>3</sup>	Współrzędne geograficzne pionu (punktu pomiarowego) <sup>2</sup>
			Sonda SW-15	Sonda SW-16	Wartość			
1	GKP w odległości poziomej 7m od anteny sektorowej az. 10°	0.3-2.0	<1.0*	<1.0*	<1.0*	1.4	0.05	53°41'58.6" 19°59'3.1"
2	GKP w odległości poziomej 26m od anteny sektorowej az. 10°	0.3-2.0	<1.0*	<1.0*	<1.0*	1.4	0.05	53°41'58.9" 19°59'3.5"
3	GKP w odległości poziomej 52m od anteny sektorowej az. 10°	0.3-2.0	<1.0*	<1.0*	<1.0*	1.4	0.05	53°42'0.0" 19°59'3.8"
4	GKP w odległości poziomej 80m od anteny sektorowej az. 10°	0.3-2.0	<1.0*	<1.0*	<1.0*	1.4	0.05	53°42'0.7" 19°59'3.8"
5	GKP w odległości poziomej 7m od anteny sektorowej az. 130°	0.3-2.0	<1.0*	<1.0*	<1.0*	1.4	0.05	53°41'57.8" 19°59'3.5"
6	GKP w odległości poziomej 23m od anteny sektorowej az. 130°	0.3-2.0	<1.0*	<1.0*	<1.0*	1.4	0.05	53°41'57.5" 19°59'4.2"
7	GKP w odległości poziomej 49m od anteny sektorowej az. 130°	0.3-2.0	<1.0*	<1.0*	<1.0*	1.4	0.05	53°41'57.1" 19°59'5.3"
8	GKP w odległości poziomej 77m od anteny sektorowej az. 130°	0.3-2.0	<1.0*	<1.0*	<1.0*	1.4	0.05	53°41'56.4" 19°59'6.4"
9	GKP w odległości poziomej 4m od anteny sektorowej az. 270°	0.3-2.0	<1.0*	<1.0*	<1.0*	1.4	0.05	53°41'58.2" 19°59'2.8"
10	GKP w odległości poziomej 22m od anteny sektorowej az. 270°	0.3-2.0	<1.0*	<1.0*	<1.0*	1.4	0.05	53°41'58.2" 19°59'1.7"
11	GKP w odległości poziomej 49m od anteny sektorowej az. 270°	0.3-2.0	<1.0*	<1.0*	<1.0*	1.4	0.05	53°41'58.2" 19°59'0.2"

Sprawozdanie z badań bez pisemnej zgody laboratorium nie może być powielane inaczej niż w całości.

Wyniki przedstawione w niniejszym sprawozdaniu odnoszą się wyłącznie do badanego obiektu i do warunków i konfiguracji urządzeń w dniu wykonywania pomiarów.

12	GKP w odległości poziomej 79m od anteny sektorowej az. 270°	0.3-2.0	<1.0*	<1.0*	<1.0*	1.4	0.05	53°41'58.2" 19°58'58.4"
13	PKP na az. 315° w odległości poziomej 26m od anteny sektorowej az. 10°	0.3-2.0	<1.0*	<1.0*	<1.0*	1.4	0.05	53°41'58.9" 19°59'2.0"
14	PKP na az. 67° w odległości poziomej 27m od anteny sektorowej az. 130°	0.3-2.0	<1.0*	<1.0*	<1.0*	1.4	0.05	53°41'58.2" 19°59'4.6"
15	PKP na az. 194° w odległości poziomej 22m od anteny sektorowej az. 270°	0.3-2.0	<1.0*	<1.0*	<1.0*	1.4	0.05	53°41'57.5" 19°59'2.4"
-	GKP w odległości poziomej 150m od anteny sektorowej az. 10°	0.3-2.0	<1.0*	<1.0*	<1.0*	1.4	0.05	53°42'2.9" 19°59'4.6"
-	GKP w odległości poziomej 342m od anteny sektorowej az. 130°	0.3-2.0	<1.0*	<1.0*	<1.0*	1.4	0.05	53°41'51.0" 19°59'17.5"
-	GKP w odległości poziomej 470m od anteny sektorowej az. 270°	0.3-2.0	<1.0*	<1.0*	<1.0*	1.4	0.05	53°41'58.2" 19°58'37.2"

## Pole magnetyczne (wyznaczone na podstawie pomiaru wartości natężenia pola elektrycznego)

Nr pionu	Opis umiejscowienia pionu (punktu pomiarowego)	Wysokość pomiaru [m]	Wartość natężenia pola magnetycznego H [A/m] <sup>1</sup>			Wartość natężenia pola magnetycznego powiększona o niepewność pomiaru <sup>4</sup> H [A/m]	Wskaźnikowa wartość poziomu emisji pól elektromagnetycznych WM <sub>H</sub> <sup>3</sup>	Współrzędne geograficzne pionu (punktu pomiarowego) <sup>2</sup>
			Sonda SW-15	Sonda SW-16	Wartość			
1	GKP w odległości poziomej 7m od anteny sektorowej az. 10°	0.3-2.0	<0.003*	<0.003*	<0.003*	0.004	0.05	53°41'58.6" 19°59'3.1"
2	GKP w odległości poziomej 26m od anteny sektorowej az. 10°	0.3-2.0	<0.003*	<0.003*	<0.003*	0.004	0.05	53°41'58.9" 19°59'3.5"
3	GKP w odległości poziomej 52m od anteny	0.3-2.0	<0.003*	<0.003*	<0.003*	0.004	0.05	53°42'0.0" 19°59'3.8"

Sprawozdanie z badań bez pisemnej zgody laboratorium nie może być powielane inaczej niż w całości.

Wyniki przedstawione w niniejszym sprawozdaniu odnoszą się wyłącznie do badanego obiektu i do warunków i konfiguracji urządzeń w dniu wykonywania pomiarów.

	sektorowej az. 10°							
4	GKP w odległości poziomej 80m od anteny sektorowej az. 10°	0.3-2.0	<0.003*	<0.003*	<0.003*	0.004	0.05	53°42'0.7" 19°59'3.8"
5	GKP w odległości poziomej 7m od anteny sektorowej az. 130°	0.3-2.0	<0.003*	<0.003*	<0.003*	0.004	0.05	53°41'57.8" 19°59'3.5"
6	GKP w odległości poziomej 23m od anteny sektorowej az. 130°	0.3-2.0	<0.003*	<0.003*	<0.003*	0.004	0.05	53°41'57.5" 19°59'4.2"
7	GKP w odległości poziomej 49m od anteny sektorowej az. 130°	0.3-2.0	<0.003*	<0.003*	<0.003*	0.004	0.05	53°41'57.1" 19°59'5.3"
8	GKP w odległości poziomej 77m od anteny sektorowej az. 130°	0.3-2.0	<0.003*	<0.003*	<0.003*	0.004	0.05	53°41'56.4" 19°59'6.4"
9	GKP w odległości poziomej 4m od anteny sektorowej az. 270°	0.3-2.0	<0.003*	<0.003*	<0.003*	0.004	0.05	53°41'58.2" 19°59'2.8"
10	GKP w odległości poziomej 22m od anteny sektorowej az. 270°	0.3-2.0	<0.003*	<0.003*	<0.003*	0.004	0.05	53°41'58.2" 19°59'1.7"
11	GKP w odległości poziomej 49m od anteny sektorowej az. 270°	0.3-2.0	<0.003*	<0.003*	<0.003*	0.004	0.05	53°41'58.2" 19°59'0.2"
12	GKP w odległości poziomej 79m od anteny sektorowej az. 270°	0.3-2.0	<0.003*	<0.003*	<0.003*	0.004	0.05	53°41'58.2" 19°58'58.4"
13	PKP na az. 315° w odległości poziomej 26m od anteny sektorowej az. 10°	0.3-2.0	<0.003*	<0.003*	<0.003*	0.004	0.05	53°41'58.9" 19°59'2.0"
14	PKP na az. 67° w odległości poziomej 27m od anteny sektorowej az. 130°	0.3-2.0	<0.003*	<0.003*	<0.003*	0.004	0.05	53°41'58.2" 19°59'4.6"
15	PKP na az. 194° w odległości poziomej 22m od anteny sektorowej az. 270°	0.3-2.0	<0.003*	<0.003*	<0.003*	0.004	0.05	53°41'57.5" 19°59'2.4"
-	GKP w odległości poziomej 150m	0.3-2.0	<0.003*	<0.003*	<0.003*	0.004	0.05	53°42'2.9" 19°59'4.6"

Sprawozdanie z badań bez pisemnej zgody laboratorium nie może być powielane inaczej niż w całości.

Wyniki przedstawione w niniejszym sprawozdaniu odnoszą się wyłącznie do badanego obiektu i do warunków i konfiguracji urządzeń w dniu wykonywania pomiarów.

	od anteny sektorowej az. 10°							
-	GKP w odległości poziomej 342m od anteny sektorowej az. 130°	0.3-2.0	<0.003*	<0.003*	<0.003*	0.004	0.05	53°41'51.0" 19°59'17.5"
-	GKP w odległości poziomej 470m od anteny sektorowej az. 270°	0.3-2.0	<0.003*	<0.003*	<0.003*	0.004	0.05	53°41'58.2" 19°58'37.2"

GKP – Główny Kierunek Pomiarowy

PKP – Pomocniczy Kierunek Pomiarowy

<sup>1</sup> wyniki oznaczone \* są wynikami poniżej czułości zestawu pomiarowego i są wynikami spoza zakresu akredytacji. Do obliczenia wyniku skorygowanego przyjęto wartość skorelowaną z rzeczywistym wynikiem pomiaru - dolną granicę akredytowanego zakresu pomiarowego metody

<sup>2</sup> współrzędne geograficzne pozyskane metodą pomiaru bezpośredniego

<sup>3</sup> do wyznaczenia wartości wskaźnikowej  $W_{ME}$  i  $W_{MH}$  przyjęto na podstawie uzgodnień z klientem oraz rozpoznania źródeł, jako wartości dopuszczalne pola elektrycznego i magnetycznego odpowiednio 28 V/m i 0,073 A/m.

<sup>4</sup> do wyznaczenia niepewności dla wyników poniżej czułości zestawu pomiarowego, przyjęto niepewność dla minimalnej wartości z zakresu pomiarowego.

<sup>5</sup> maksymalna wartość chwilowa

Niepewność oszacowano zgodnie z dokumentem P-03 „Procedura nadzoru nad wyposażeniem” w postaci niepewności rozszerzonej wynikającej z niepewności standardowej pomnożonej przez współczynnik rozszerzenia  $k=2$ .

Całkowita szacowana niepewność rozszerzona składowej E wynosi odpowiednio:

sonda SW-15: 35.1% dla częstotliwości do 4 GHz, sonda SW-16: 29.9% dla częstotliwości do 4 GHz

Pomiar wykonany metodą 2 sond, opisaną w artykule Medycyna Pracy 2015;66(5):701–712 „Optymalizacja metodyki pomiaru wieloczęstotliwościowego pola elektromagnetycznego stacji bazowych telefonii komórkowej”.

Umiejscowienie pionów (punktów) pomiarowych przedstawiono w załączniku nr 2 do niniejszego sprawozdania.

## 10. Omówienie wyników pomiarów

W związku z tym, że żadna z wartości zmierzonych, udokumentowanych w tabelach w pkt. 9, uzyskanych w skutek zastosowania pomiaru szerokopasmowego, powiększonego o rozszerzoną niepewność pomiaru U dla współczynnika rozszerzenia  $k = 2$  nie przekroczyła 70% najniższej dopuszczalnej wartości składowej elektrycznej lub magnetycznej pola dla objętych pomiarami zakresów częstotliwości, nie uwzględnia się poprawek pomiarowych.

W wyniku zastosowania sposobu sprawdzenia dotrzymania dopuszczalnych poziomów pól elektromagnetycznych w środowisku, zgodnie pkt 25 ppkt 1 Rozporządzenia Ministra Klimatu z dnia 17 lutego 2020 r. (Dz. U. 2022, poz. 2630), w związku z tym, że żadna z wartości wskaźnikowych, udokumentowanych w tabelach w pkt. 9 nie przekracza wartości 1, stwierdza się, że w miejscach, w których wykonano pomiary w otoczeniu instalacji radiokomunikacyjnej 39214 (44214N!) GOL\_OSTRODA\_DEMOKRACJI6, dopuszczalne poziomy pól elektromagnetycznych w środowisku należy uznać za dotrzymane.

## 11. Podstawa prawna

- 1) Ustawa z dnia 27 kwietnia 2001 r. Prawo ochrony środowiska (T. j. Dz. U. z 2025 r., poz. 647 z późn. zm.)
- 2) Rozporządzenie Ministra Zdrowia z dnia 17 grudnia 2019 r. w sprawie dopuszczalnych poziomów pól elektromagnetycznych w środowisku (Dz. U. 2019, poz. 2448)
- 3) Rozporządzenie Ministra Klimatu z dnia 17 lutego 2020 r. w sprawie sposobów sprawdzania dotrzymania dopuszczalnych poziomów pól elektromagnetycznych w środowisku (Dz. U. 2022, poz. 2630),
- 4) Akredytacja nr AB 419 wydana przez Polskie Centrum Akredytacji (wydanie 24, z dnia 14 stycznia 2026r.)

## 12. Spis załączników

Załącznik 1. Lokalizacja obiektu badań

Załącznik 2. Usytuowanie pionów (punktów) pomiarowych

Załącznik 3. Dokumentacja fotograficzna obiektu badań

Sprawozdanie z badań bez pisemnej zgody laboratorium nie może być powielane inaczej niż w całości.

Wyniki przedstawione w niniejszym sprawozdaniu odnoszą się wyłącznie do badanego obiektu i do warunków i konfiguracji urządzeń w dniu wykonywania pomiarów.

**13. Data wydania i autoryzowania sprawozdania**

Obliczenia i sprawozdanie wykonał :

Sprawozdanie autoryzował:

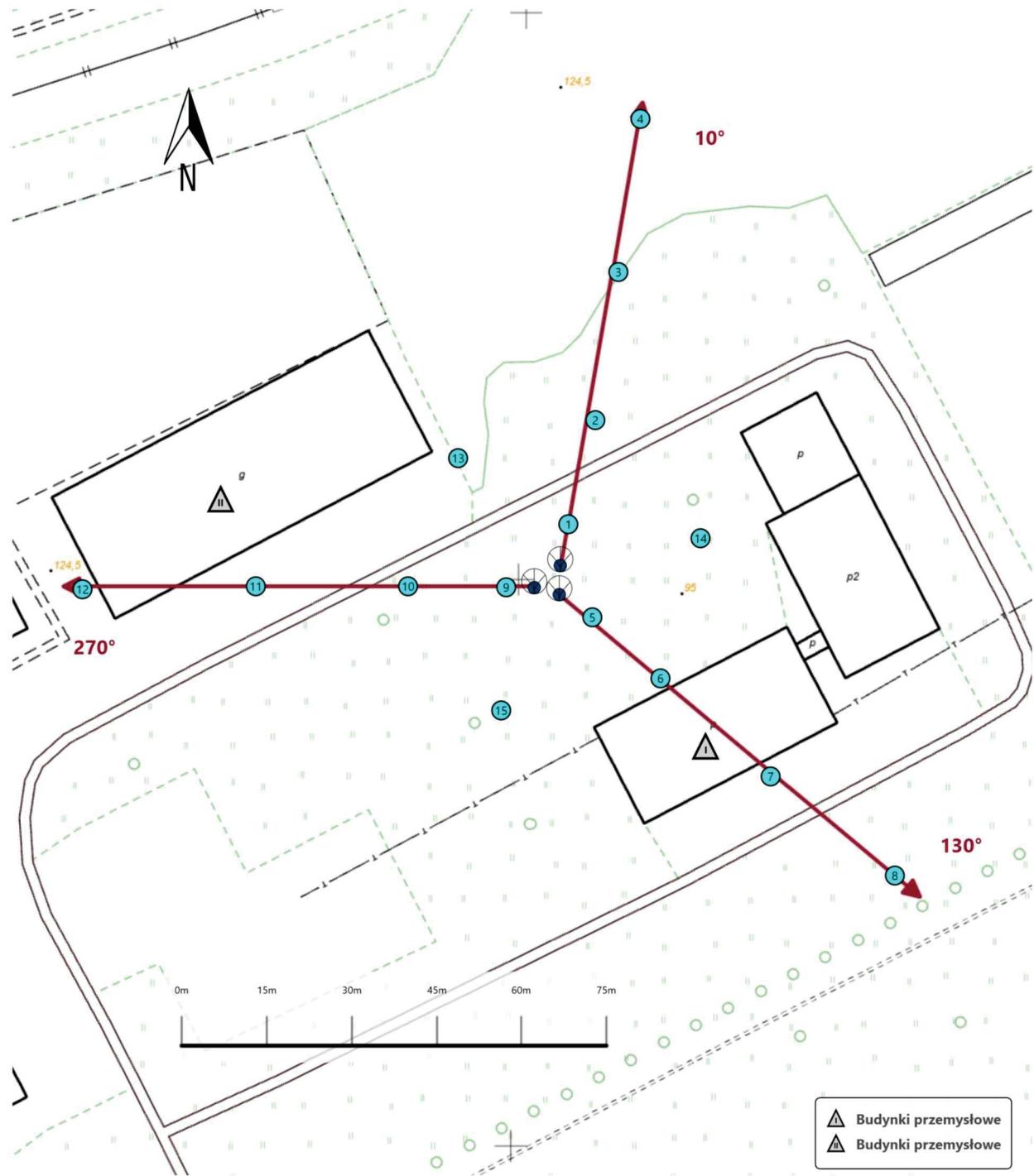
**Koniec sprawozdania**






Sprawozdanie z badań bez pisemnej zgody laboratorium nie może być powielane inaczej niż w całości.

Wyniki przedstawione w niniejszym sprawozdaniu odnoszą się wyłącznie do badanego obiektu i do warunków i konfiguracji urządzeń w dniu wykonywania pomiarów.



Załącznik nr 1	Instalacja radiokomunikacyjna T-Mobile Polska S.A. 39214 (44214N!) GOL_OSTRODA_DEMOKRACJI6 Lokalizacja instalacji
----------------	---



Załącznik nr 2	<p style="text-align: center;"><b>Instalacja radiokomunikacyjna T-Mobile Polska S.A.</b>  <b>GOL_OSTRODA_DEMOKRACJI6 (44214N!)</b>                  Usytuowanie pionów pomiarowych w otoczeniu instalacji radiokomunikacyjnej</p>
	<p>Legenda:</p> <div style="display: flex; justify-content: space-around; align-items: flex-start;"> <div style="text-align: center;">                   Źródło pola elektromagnetycznego             </div> <div style="text-align: center;">                   Brak dostępu             </div> <div style="text-align: center;">                   Pion pomiarowy             </div> <div style="text-align: center;">                   Kierunek oddziaływania anten sektorowych             </div> <div style="text-align: center;">                   Kierunek oddziaływania anten radioliniowych             </div> </div>



Załącznik nr 3

Instalacja radiokomunikacyjna T-Mobile Polska S.A.  
39214 (44214N!) GOL\_OSTRODA\_DEMOKRACJI6

Dokumentacja fotograficzna